Lichtleiter Verstärker

P1XD113

Bestellnummer



- **Intuitive Einstellung am Display**
- **LED-Rotlicht**
- **NFC-Kommunikation über die weCon App und IO-Link**
- **Werkzeuglose Montage**

Faseroptische Sensoren arbeiten nach dem energetischen Prinzip, bei dem Licht über ein Lichtleitkabel ausgesendet und über ein anderes empfangen wird. Durch die Verwendung vielseitiger Kunststoff- oder Glasfaserlichtleitkabel mit Adapter Nr. 7 kann der Verstärker an unterschiedlichste Applikationsanforderungen angepasst werden. Das Display zeigt sowohl die Schaltschwelle als auch das aktuell empfangene Signal an, wodurch der Sensor intuitiv und schnell über die Tasten eingestellt werden kann. Komplexere Parametrierungen können komfortabel über die wenglor weCon App auf einem mobilen Endgerät oder über IO-Link vorgenommen werden. Außerdem stehen alle Sensorinformationen über die IO-Link-Prozessdaten zur Verfügung. Sowohl die Lichtleitkabel als auch der Verstärker las-

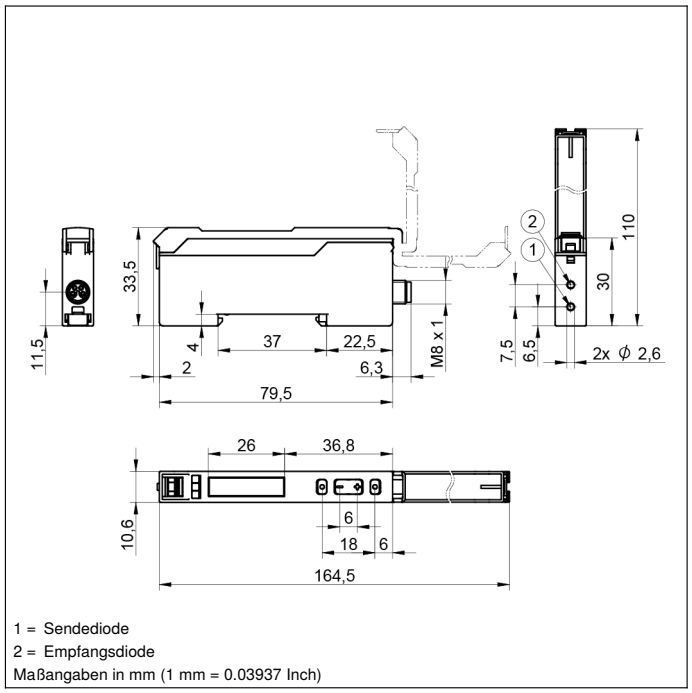
Technische Daten

Optische Daten	
Schalthysterese	< 15 %
Lichtart	Rotlicht
Lebensdauer (Tu = +25 °C)	> 100000 h
Max. zul. Fremdlicht	10000 Lux
Elektrische Daten	
Versorgungsspannung	10...30 V DC
Versorgungsspannung mit IO-Link	18...30 V DC
Stromaufnahme (Ub = 24 V)	< 40 mA
Schaltfrequenz	7 kHz
Ansprechzeit	71 µs
Anzugs-/Abfallzeitverzögerung	0...10000 ms
Temperaturdrift	< 10 %
Temperaturbereich	-25...60 °C
Spannungsabfall Schaltausgang	< 2 V
Schaltstrom Schaltausgang	100 mA
Kurzschlussfest	ja
Verpolungssicher	ja
Überlastsicher	ja
Teach-in-Modus	NT, MT, MT mit dynamischer Nachjustierung, Sprungerkennung, DT, BT, WT
IO-Link Übertragungsrate	COM3
Schnittstelle	IO-Link V1.1.3
Schutzklasse	III
Mechanische Daten	
Einstellart	Display
Einstellart	NFC
Gehäusematerial	Kunststoff, ABS
Gehäusematerial	Kunststoff, PA
Gehäusematerial	Kunststoff, PC
Schutzart	IP50
Anschlussart	M8 × 1; 4-polig
Hutschienenmontage	35 mm
Sicherheitstechnische Daten	
MTTFd (EN ISO 13849-1)	640,47 a

IO-Link	●
NPN-Öffner, NPN-Schließer	●
Anschlussbild-Nr.	228
Bedienfeld-Nr.	P16
Passende Anschlusstechnik-Nr.	7

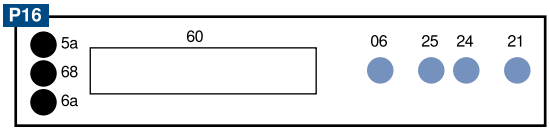
Ergänzende Produkte

IO-Link-Master
Kunststofflichtleitkabel

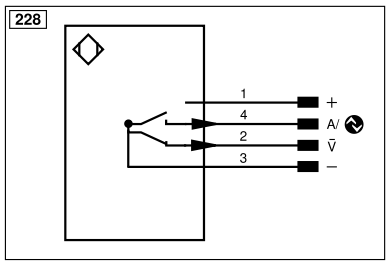


1 = Sendediode
2 = Empfangsdiode
Maßangaben in mm (1 mm = 0.03937 Inch)

Bedienfeld



06 = Teach-in-Taste
21 = Mode-Taste
24 = Plus-Taste
25 = Minus-Taste
5a = Schaltzustandanzeige A1
60 = Anzeige
68 = Power LED
6a = Schaltzustandanzeige A2



Symbolerklärung					
+	Versorgungsspannung +	nc	Nicht angeschlossen	ENRS422	Encoder B/B̄ (TTL)
–	Versorgungsspannung 0 V	U	Testeingang	ENA	Encoder A
~	Versorgungsspannung (Wechselspannung)	Ū	Testeingang invertiert	ENB	Encoder B
A	Schaltausgang Schließer (NO)	W	Triggereingang	AMIN	Digitalausgang MIN
Ā	Schaltausgang Öffner (NC)	W–	Bezugsmasse/Triggereingang	AMAX	Digitalausgang MAX
V	Verschmutzungs-/Fehlerausgang (NO)	O	Analogausgang	AOK	Digitalausgang OK
V̄	Verschmutzungs-/Fehlerausgang (NC)	O–	Bezugsmasse/Analogausgang	SY In	Synchronisation In
E	Eingang analog oder digital	BZ	Blockabzug	SY OUT	Synchronisation OUT
T	Teach-in-Eingang	AMV	Ausgang Magnetventil/Motor	OLT	Lichtstärkeausgang
Z	Zeitverzögerung (Aktivierung)	a	Ausgang Ventilsteuerung +	M	Wartung
S	Schirm	b	Ausgang Ventilsteuerung 0 V	rsv	Reserviert
RxD	Schnittstelle Empfangsleitung	SY	Synchronisation	Adernfarben nach IEC 60757	
TxD	Schnittstelle Sendeleitung	SY–	Bezugsmasse/Synchronisation	BK	schwarz
RDY	Bereit	E+	Empfängerleitung	BN	braun
GND	Masse	S+	Sendeleitung	RD	rot
CL	Takt	⏚	Erdung	OG	orange
E/A	Eingang/Ausgang programmierbar	SnR	Schaltabstandsreduzierung	YE	gelb
	IO-Link	Rx+/–	Ethernet Empfangsleitung	GN	grün
PoE	Power over Ethernet	Tx+/–	Ethernet Sendeleitung	BU	blau
IN	Sicherheitseingang	Bus	Schnittstellen-Bus A(+)/B(–)	VT	violett
OSSD	Sicherheitsausgang	La	Sendelicht abschaltbar	GY	grau
Signal	Signalausgang	Mag	Magnetansteuerung	WH	weiß
BI_D+/–	Ethernet Gigabit bidirekt. Datenleitung (A-D)	RES	Bestätigungseingang	PK	rosa
EN0 RS422	Encoder 0-Impuls 0/0̄ (TTL)	EDM	Schützkontrolle	GNYE	grüngelb
PT	Platin-Messwiderstand	ENARS422	Encoder A/Ā (TTL)		

Technische Änderungen vorbehalten V0-27.05.2025